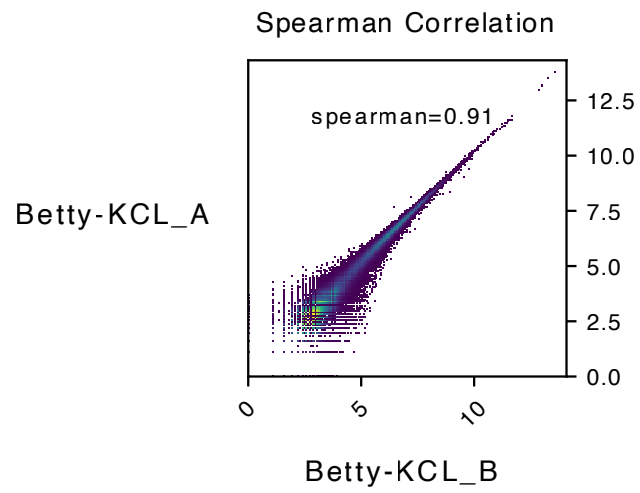
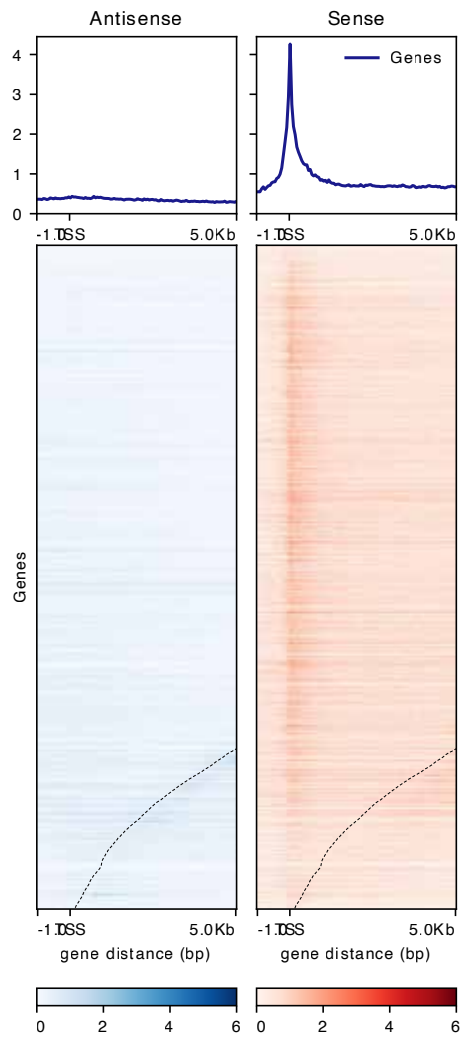


Hartley, et al _ Figure S1

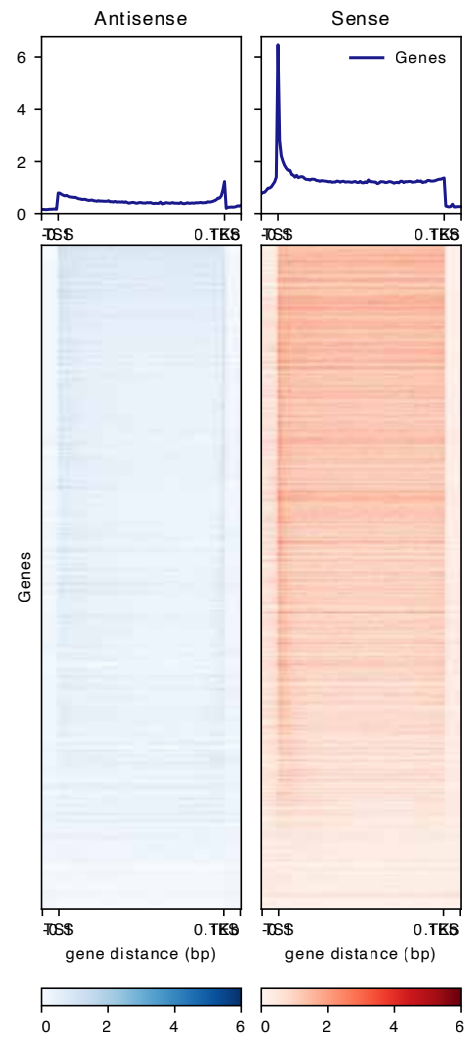
A.



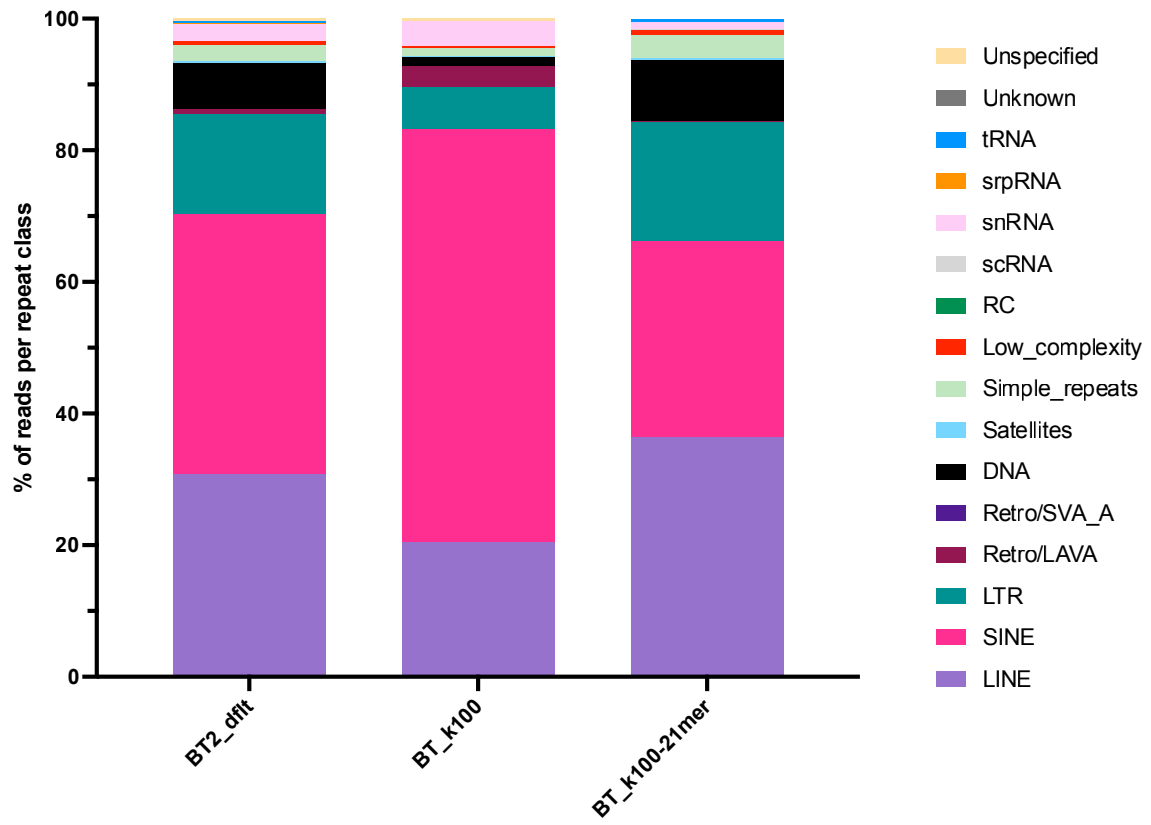
B.



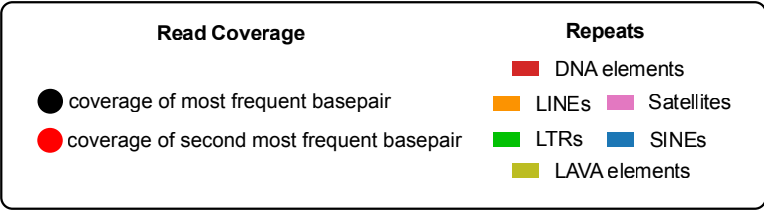
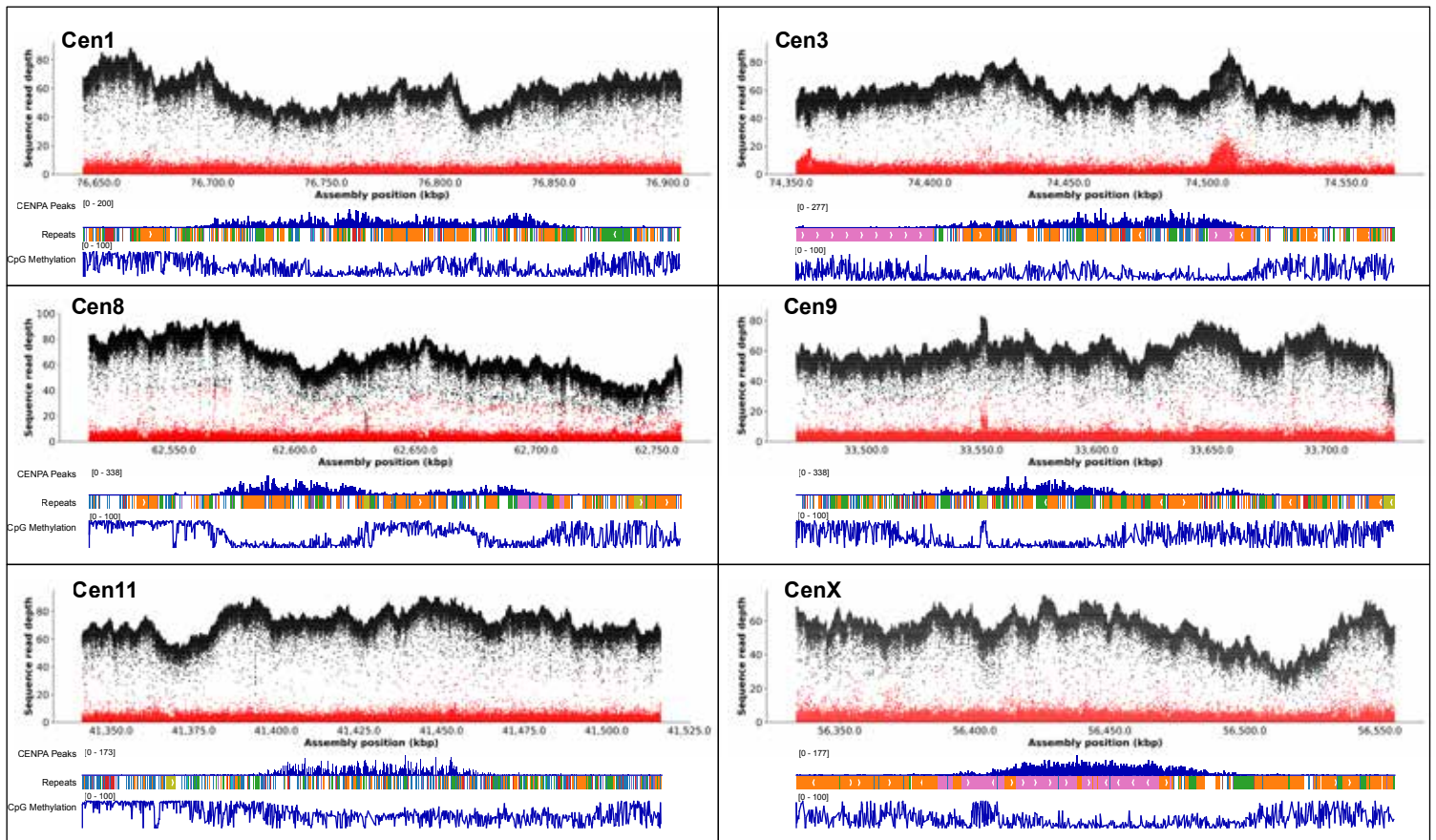
C.



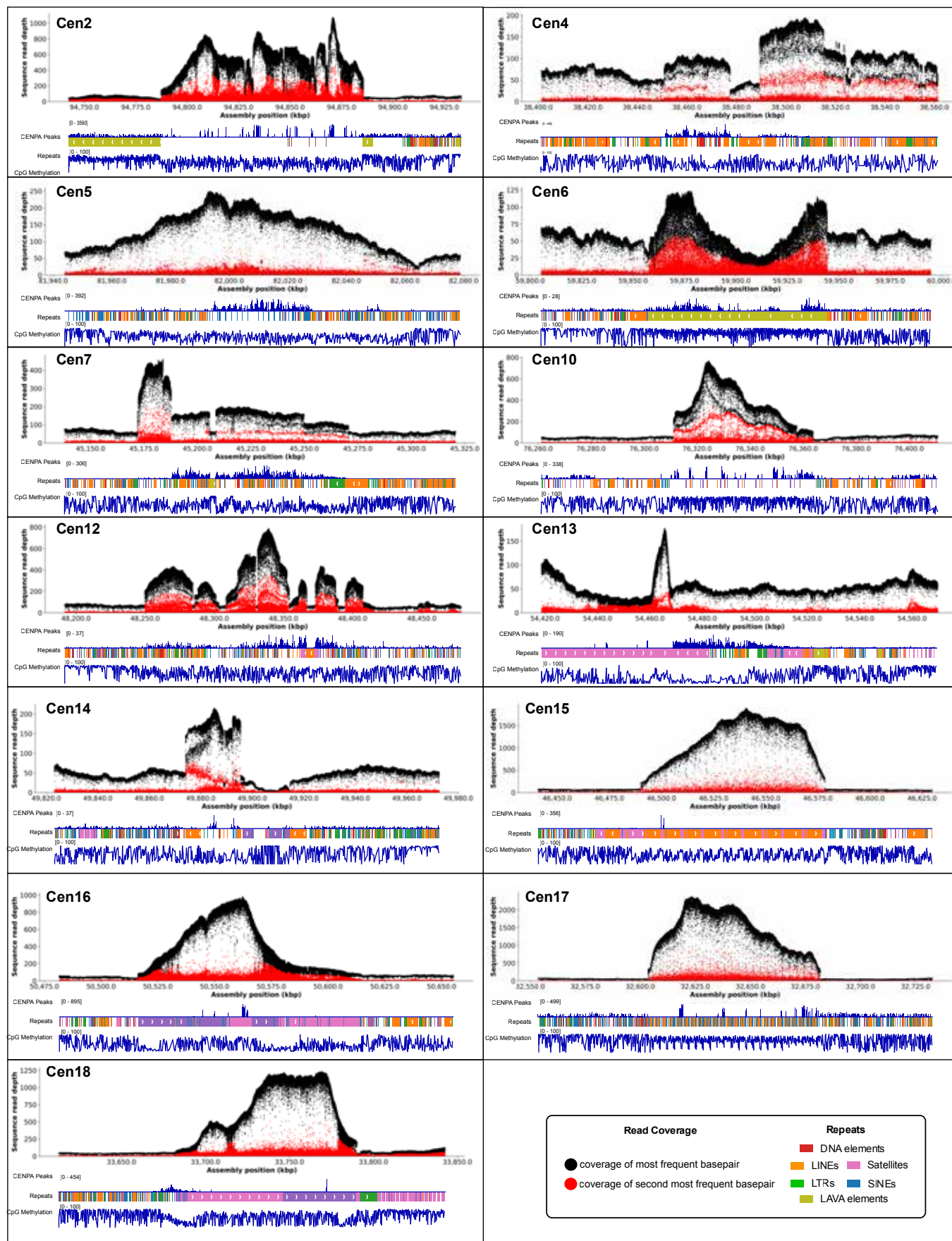
Hartley, et al _ Figure S2



Hartley, et al _ Figure S3

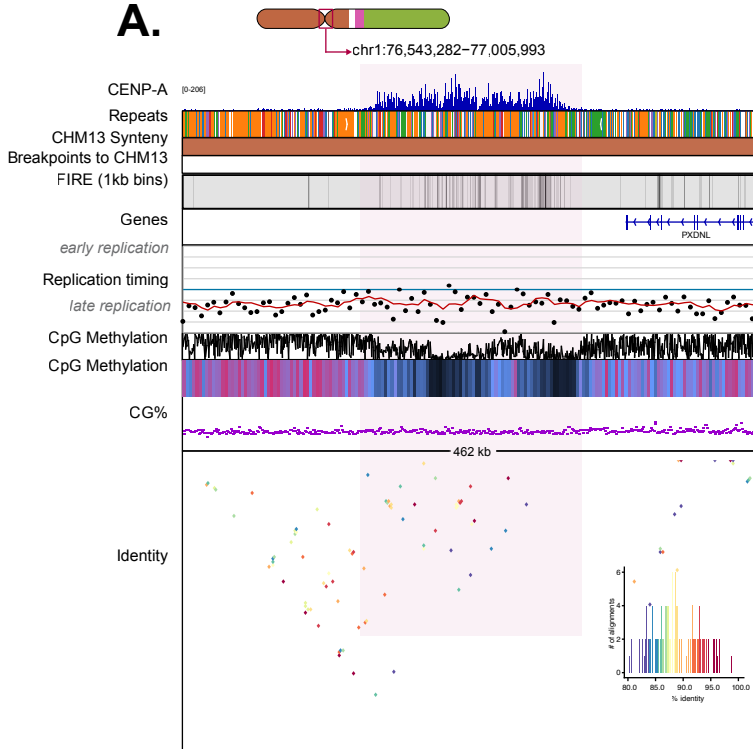


Hartley, et al _ Figure S4

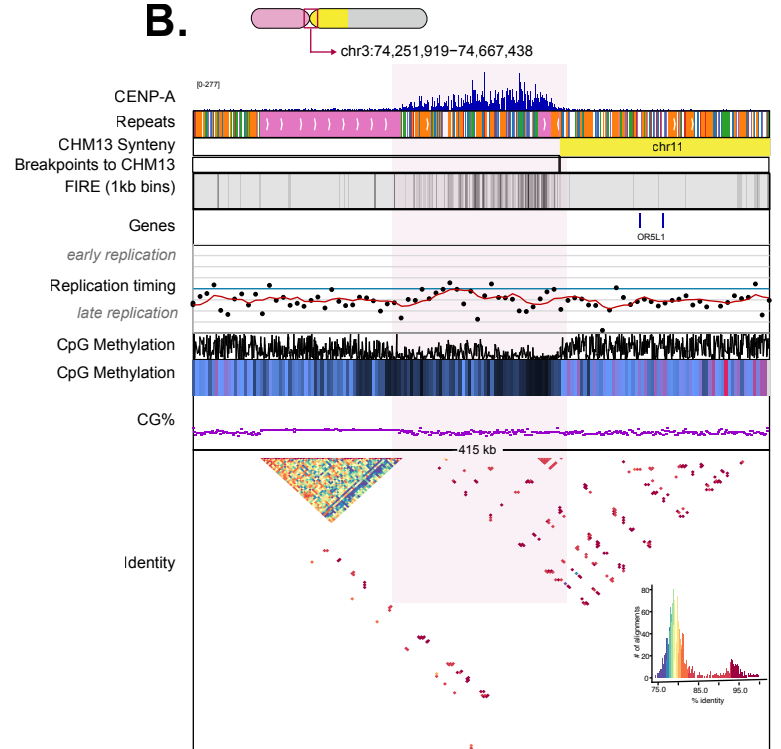


Hartley, et al _ Figure S5

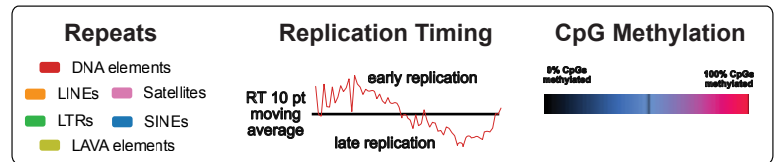
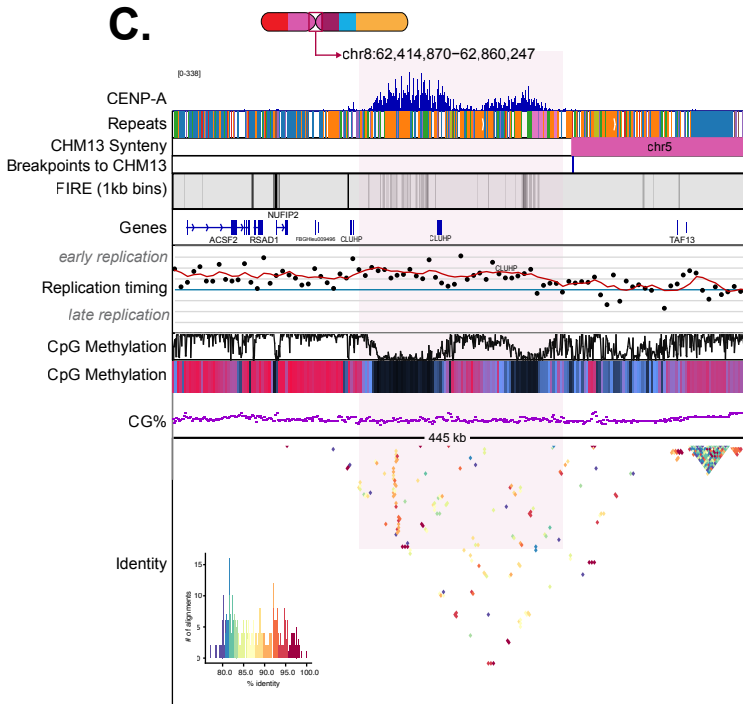
A.



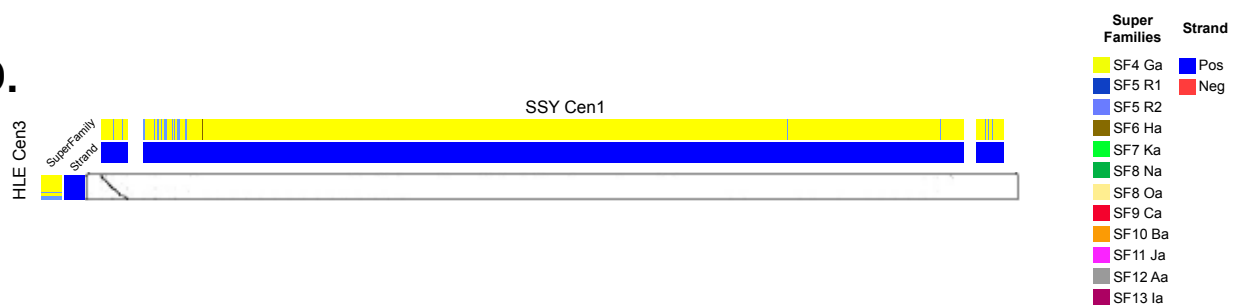
B.



C.

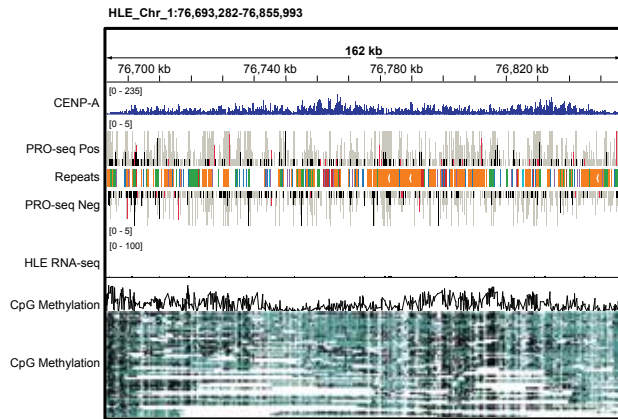


D.

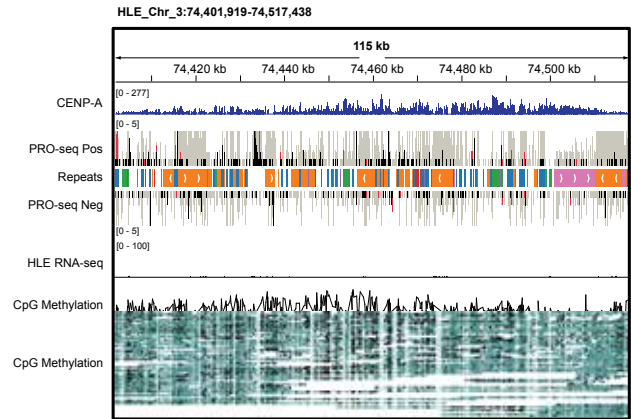


Hartley et al, Figure S6

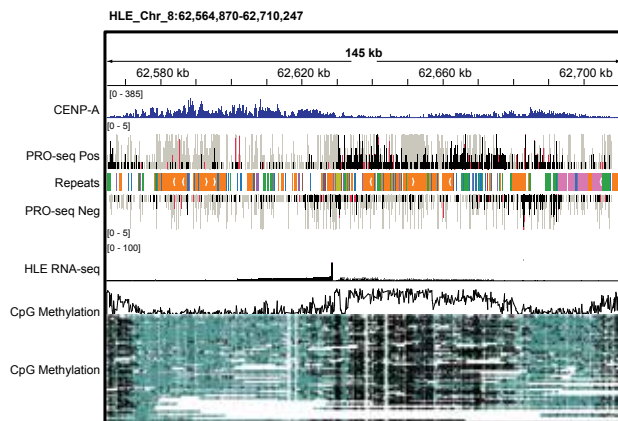
A.



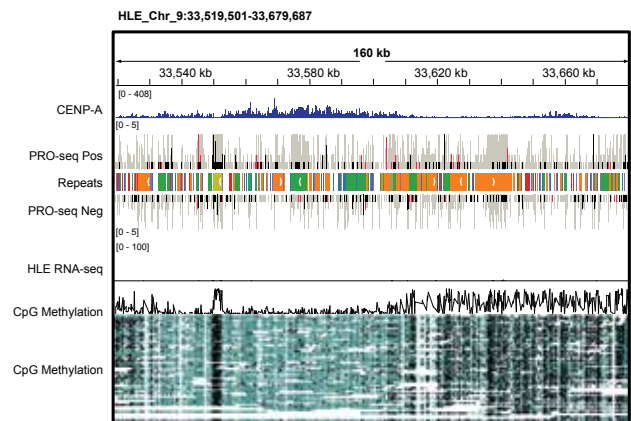
B.



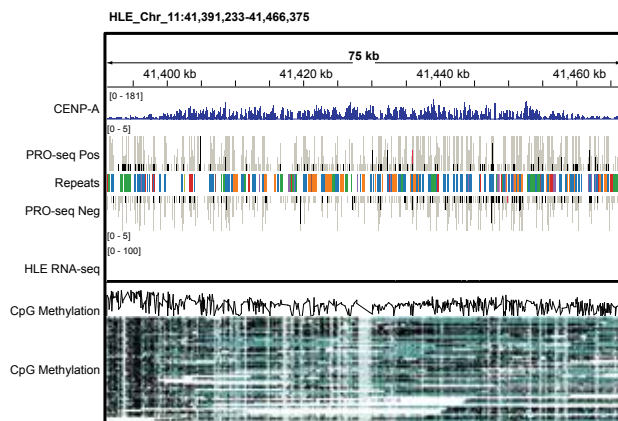
C.



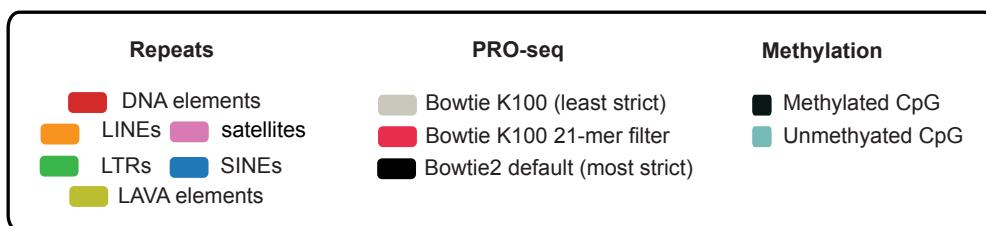
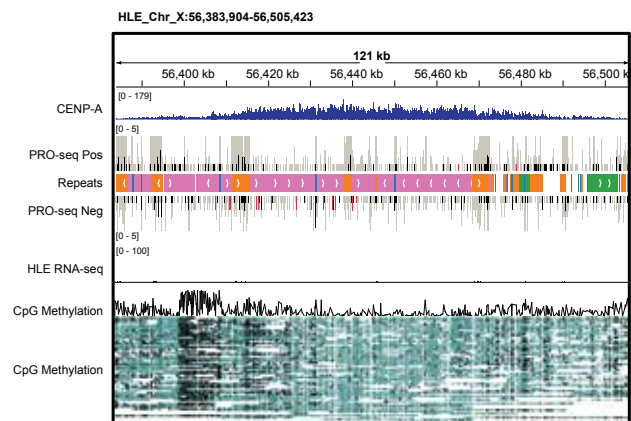
D.



E.

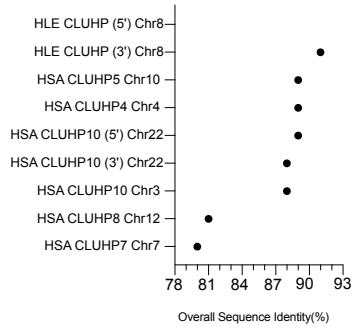


F.

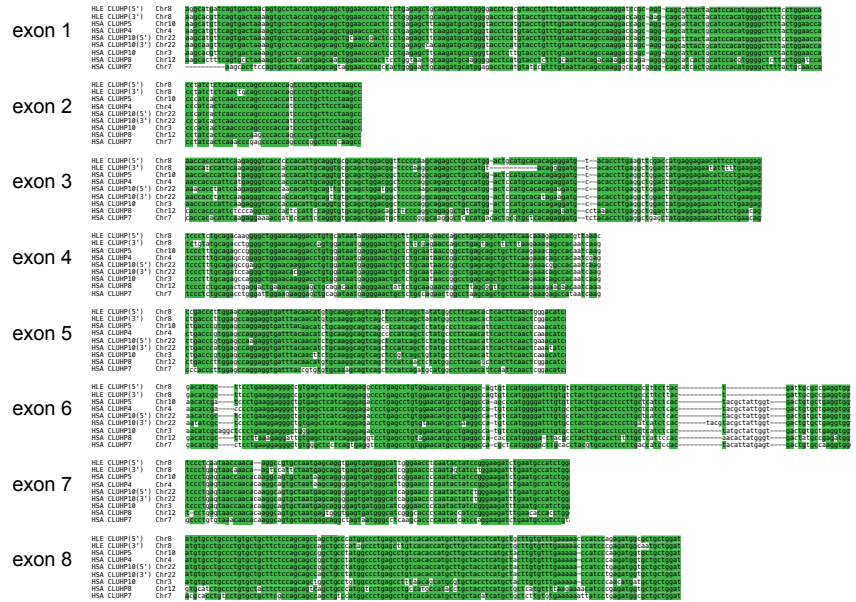


Hartley et al, Figure S7

A.

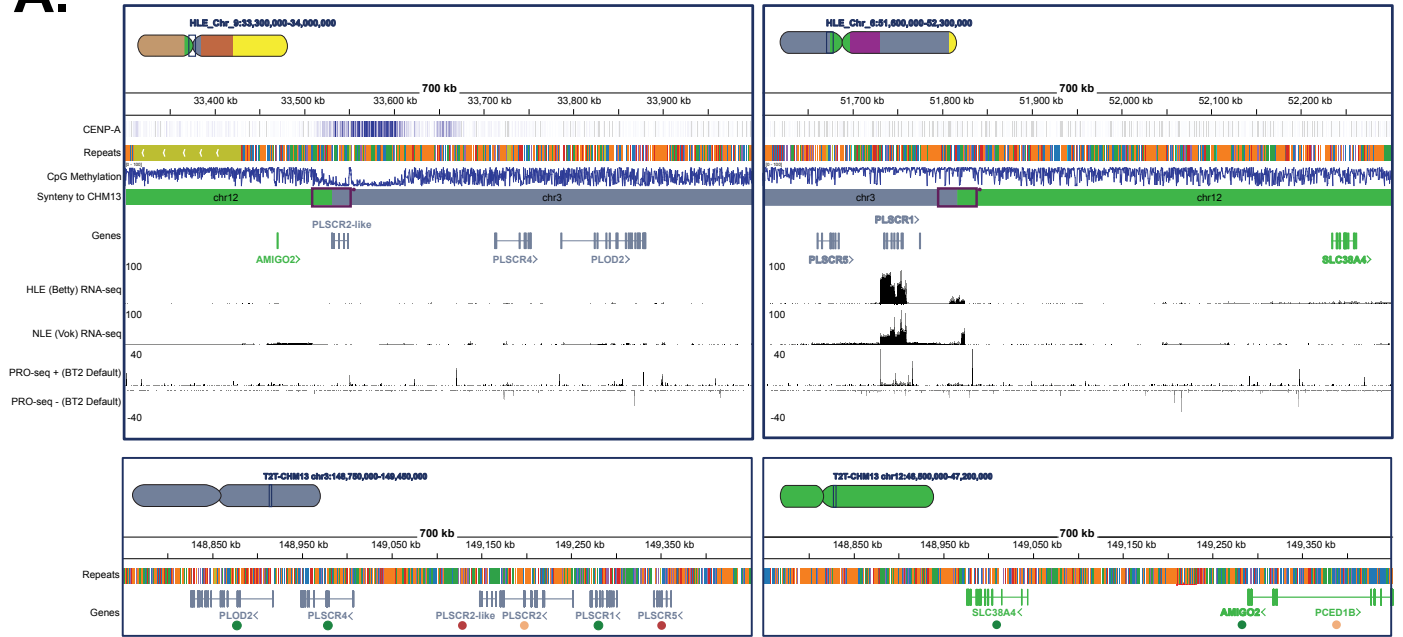


B.

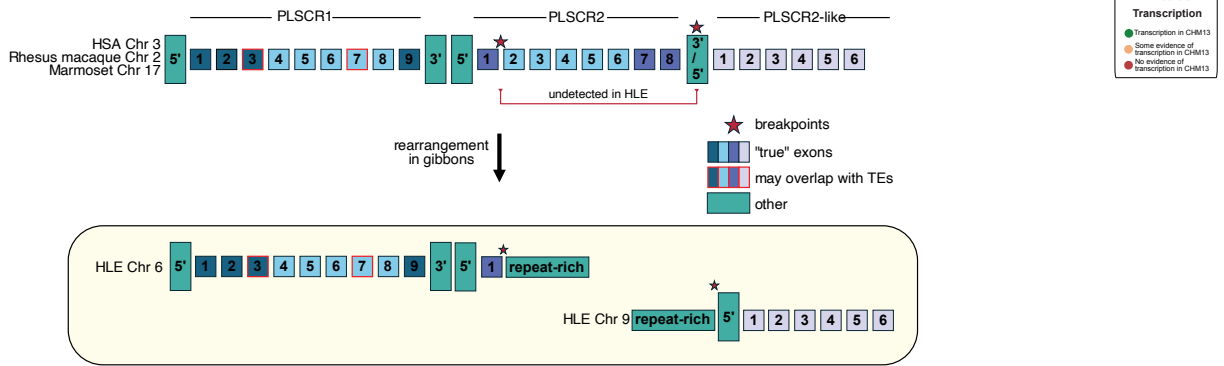


Hartley et al, Figure S8

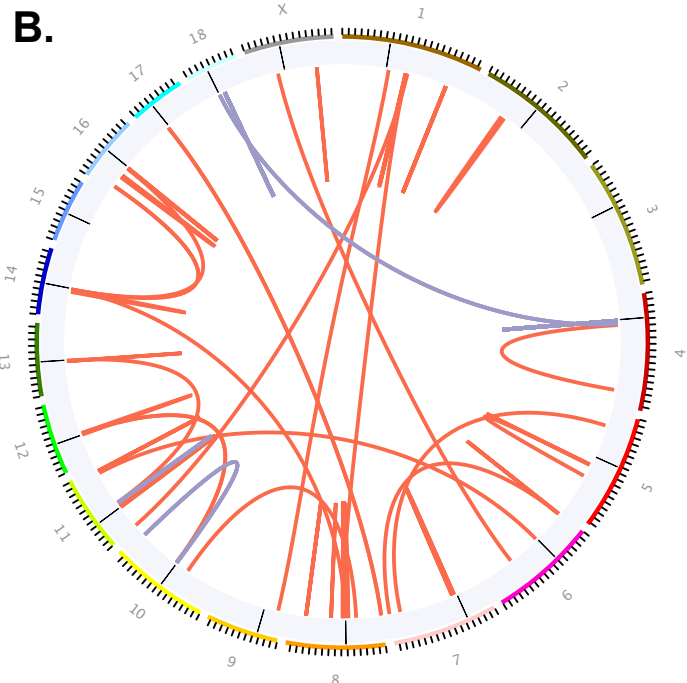
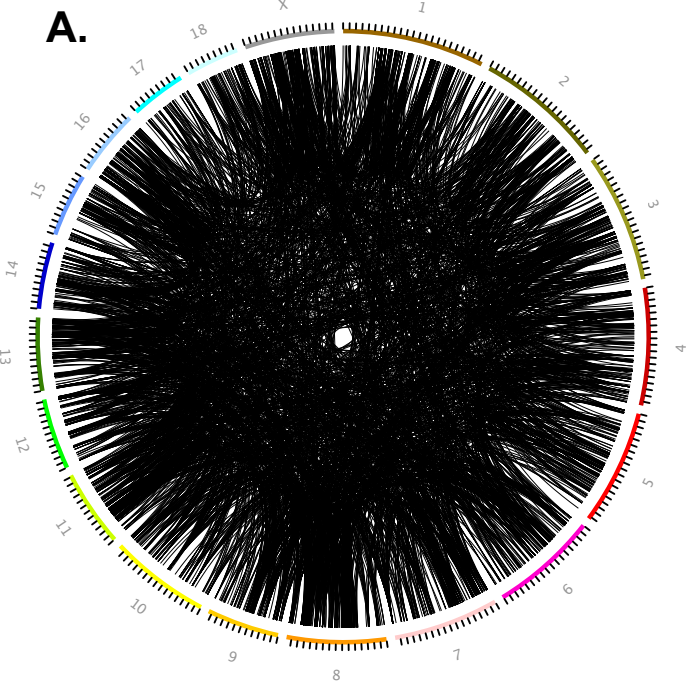
A.



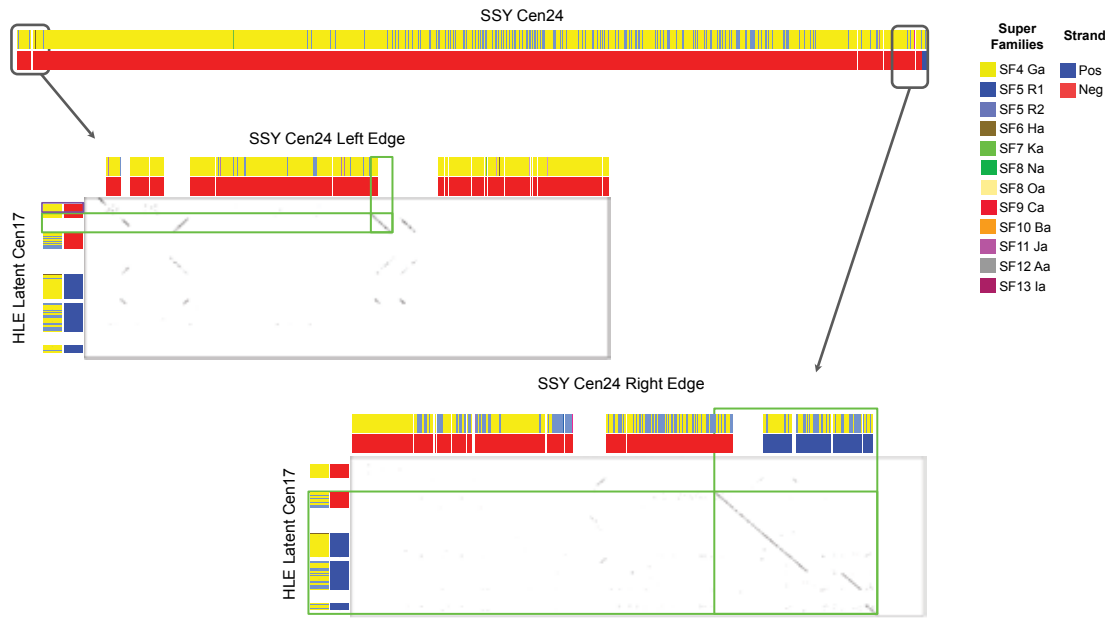
B.



Hartley, et al Fig S9

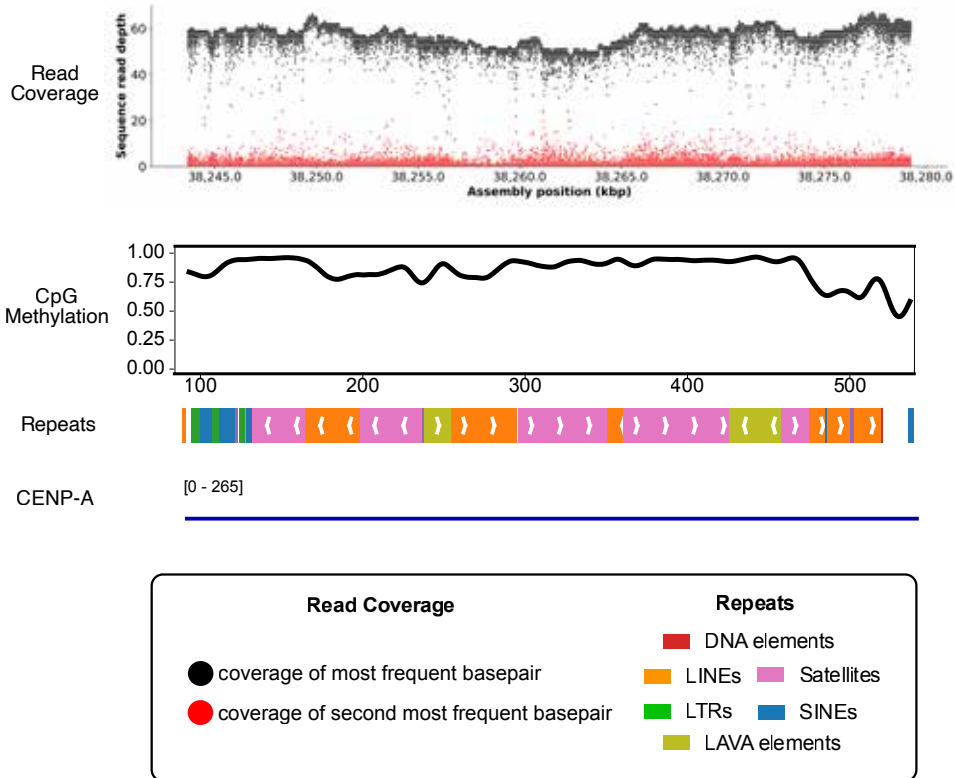


Hartley et al, Figure S10

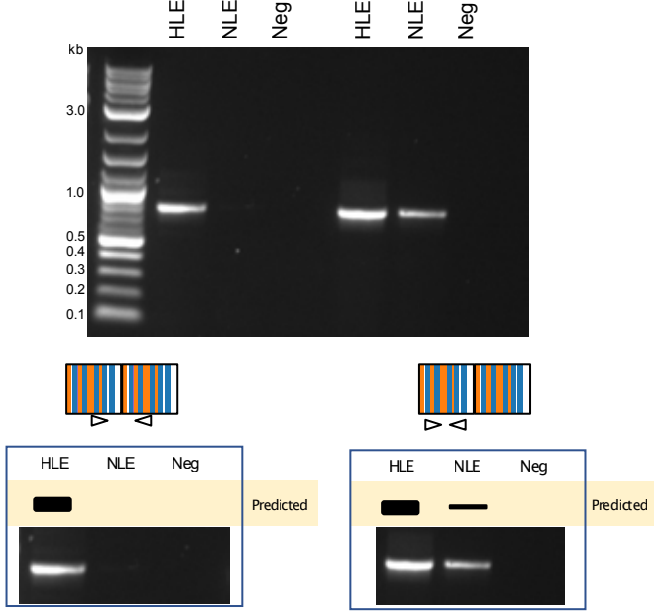


Hartley et al, Figure S11

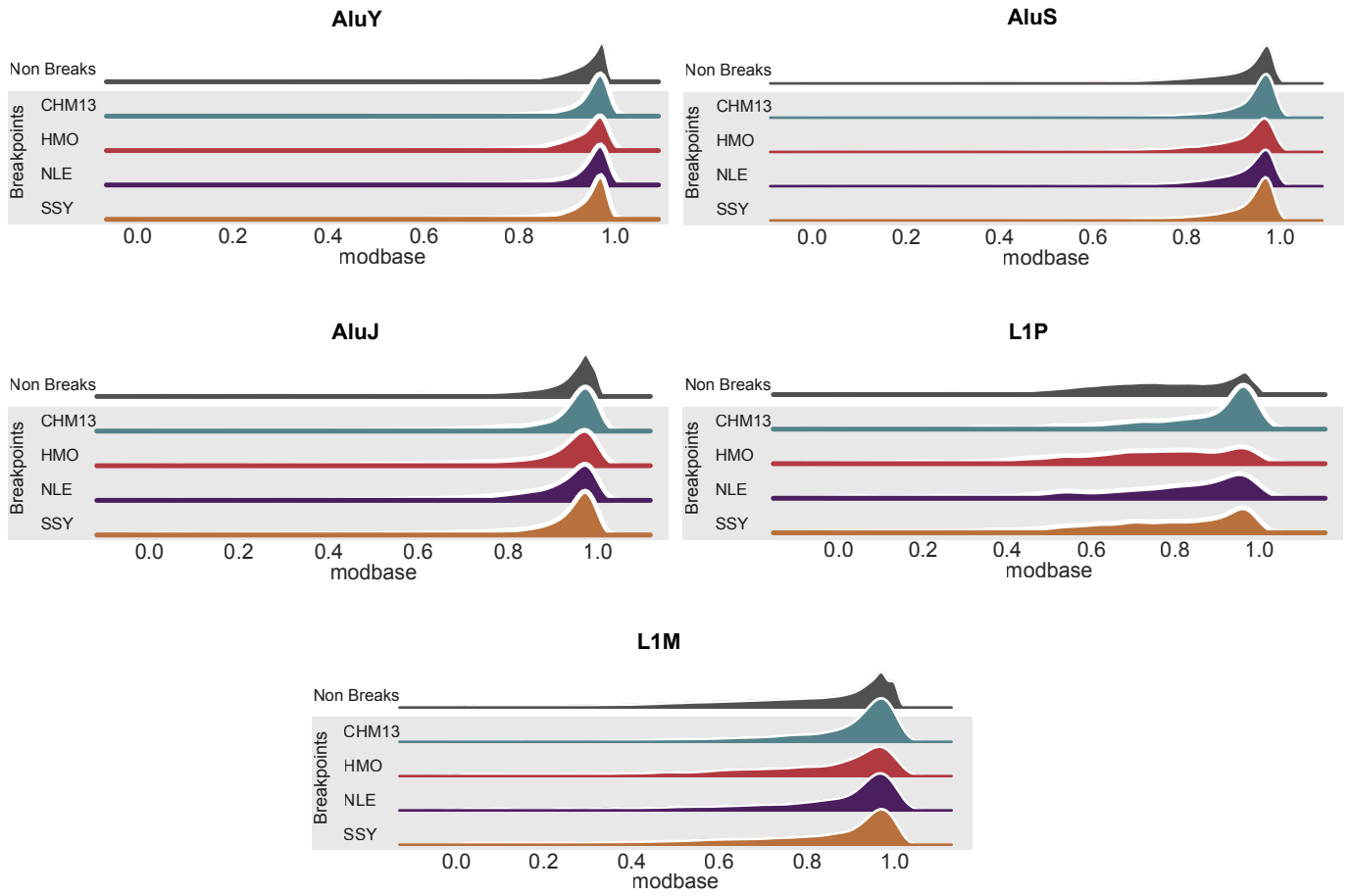
HLE Chr17:38,246,223-38,274,570



Hartley et al, Figure S12



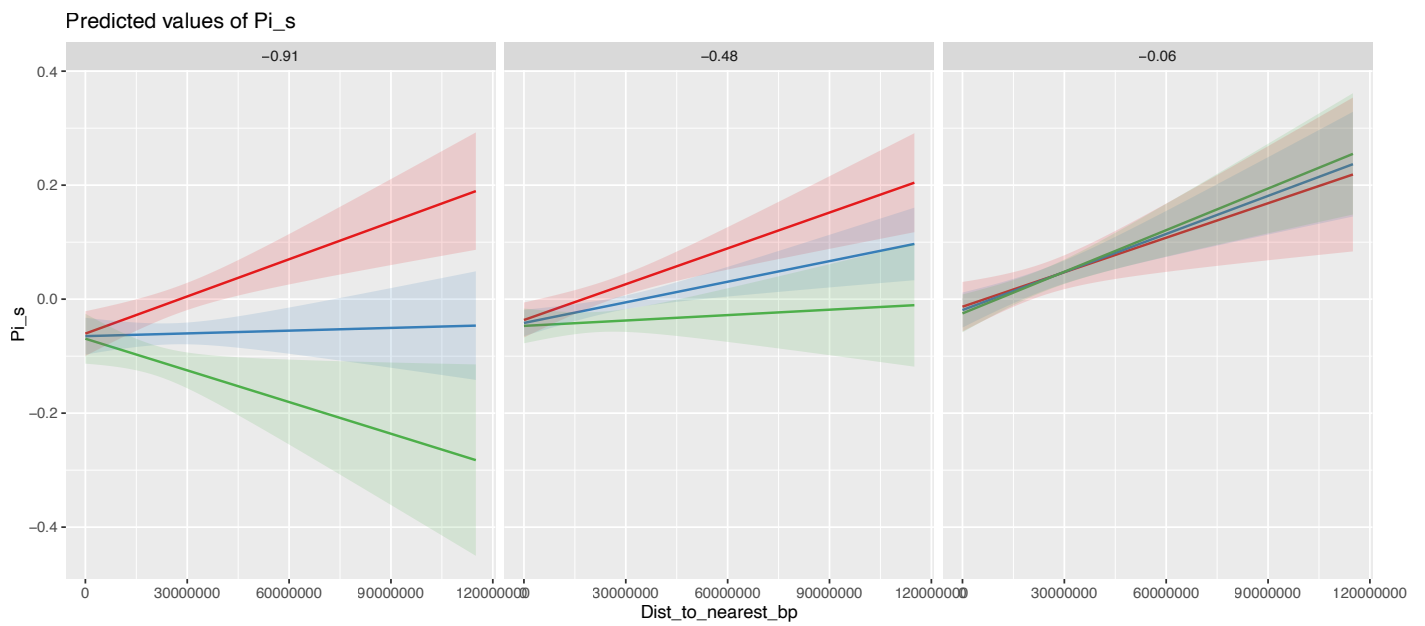
Hartley, et al _ Figure S13



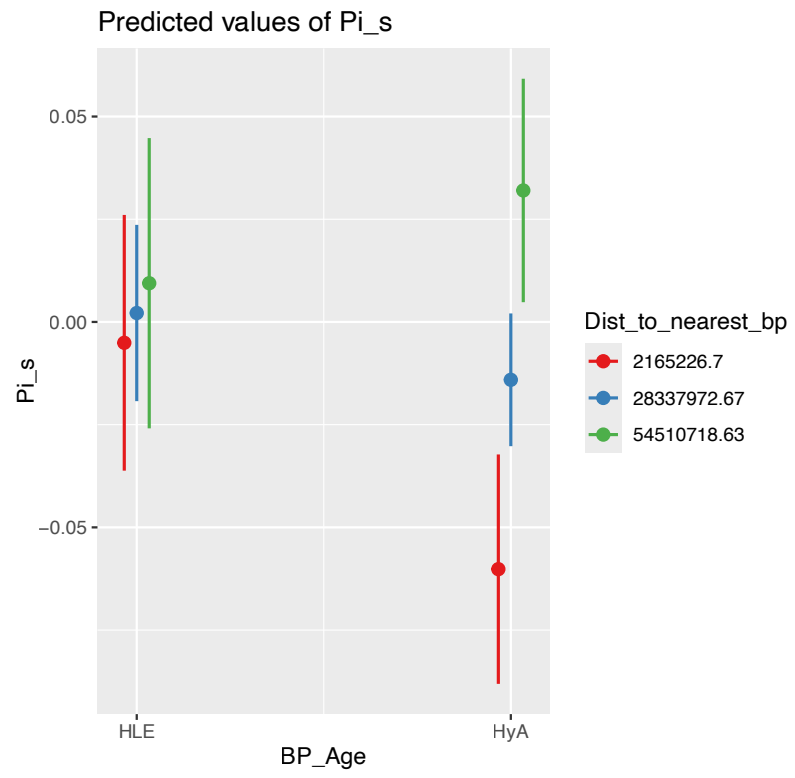
Hartley, et al _ Figure S14

closest_boundary_distance

- 25274.6
- 37642.2
- 100559



Hartley, et al _ Figure S15



Hartley, et al _ Figure S16

